

# **EA513 I - Circuitos Elétricos I**

## **Cap. VII - Excitação Senoidal e Fasores**

### **1 Propriedade de Senóides**

Sinais senoidais estão presentes em diversos ambientes: transmissão de sinais, eletricidade, etc..

Foi visto que a resposta de sistemas dinâmicos a excitações pode ser separada em parte homogênea, que depende das características intrínsecas do sistema e das condições iniciais, e parcela particular que depende essencialmente de excitações. Além disso, cabe lembrar que a solução homogênea representa a parcela tran-

sitória e a solução particular representa a parcela permanente.

Neste capítulo serão estudados os comportamentos de sistemas elétricos quando sujeitos a excitações senoidais. Conseqüentemente, serão consideradas apenas as respostas forçadas (ou particulares, que são de regime permanente).

De uma forma geral, sinais senoidais podem ser representados como:

$$v(t) = V_m \sin(\omega t + \phi)$$

onde:

$$\begin{cases} V_m & \text{amplitude de oscilacao} \\ \omega & \text{frequencia de oscilacao} \\ \phi & \text{fase} \end{cases}$$

Obs.:

1. Período  $T = \frac{1}{f} = \frac{2\pi}{\omega}$
2.  $\omega$  em radianos/segundo
3.  $\phi$  pode ser em graus ou em radianos
4.  $\phi > 0$ : sinal adiantado
5.  $\phi < 0$ : sinal atrasado
6.  $\sin(\omega t) = \cos(\omega t - \frac{\pi}{2})$
7.  $A\cos\omega t + B\sin\omega t = \sqrt{A^2 + B^2}\cos(\omega t - \phi)$  onde  $\phi$  depende do quadrante

Exemplo: No circuito da Figure 1, deseja-se obter  $v(t)$  em regime permanente.

Solução:

$$\begin{cases} I_m \cos \omega t &= i_R + i_C \\ i_R &= \frac{v}{R} \\ i_C &= C \frac{dv}{dt} \end{cases}$$

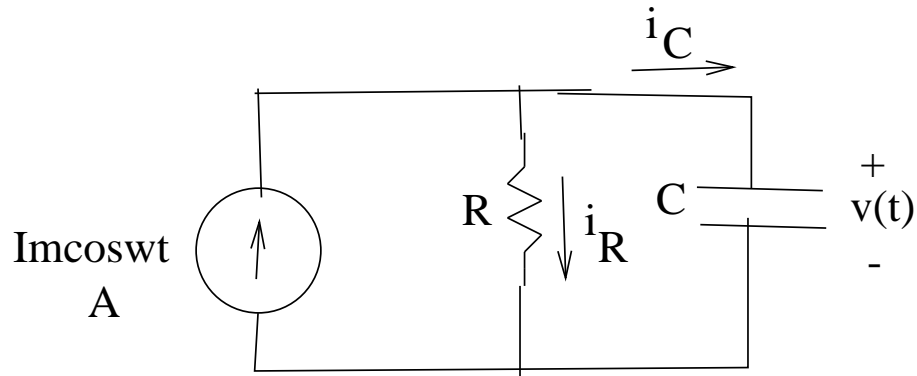


Figure 1: Circuito exemplo

Portanto:

$$\frac{dv}{dt} + \frac{1}{RC}v = \frac{I_m}{C} \cos \omega t$$

Logo:  $v_p(t) = A \cos \omega t + B \sin \omega t$

Lembrando que neste capítulo procura apenas a solução particular, tem-se:

$$v_p(t) = v(t) = A \cos \omega t + B \sin \omega t$$

$$\Rightarrow \frac{dv}{dt} = -A \omega \sin \omega t + B \omega \cos \omega t$$

Resolvendo:

$$v(t) = \frac{RI_m}{\sqrt{1+w^2R^2C^2}} \cos(\omega t - \arctg(\omega RC))$$

## 2 Excitações Complexas

Euler:  $e^{jx} = \cos x + j \sin x$

Seja o exemplo logo acima, onde se obteve a equação diferencial:

$$\frac{dv}{dt} + \frac{1}{RC}v = \frac{I_m}{C} \cos \omega t$$

Pode-se escrever:

$$I(t) = I_m \cos \omega t = I_m \operatorname{Re}[e^{j\omega t}]$$

onde  $\operatorname{Re}$  refere-se à parte real. A equação diferencial pode ser re-escrita na forma:

$$\frac{dv}{dt} + \frac{1}{RC}v = \frac{I_m}{C} \operatorname{Re}[e^{j\omega t}]$$

Abstraindo  $\operatorname{Re}$ , obtém-se:

$$\frac{d\tilde{v}}{dt} + \frac{1}{RC}\tilde{v} = \frac{I_m}{C}e^{j\omega t}$$

cuja solução  $\tilde{v}$  é composta de parte real e parte imaginária.

Tendo em vista que aqui estuda-se sistemas lineares, vale o princípio de superposição e, portanto, a solução de:

$$\frac{dv}{dt} + \frac{1}{RC}v = \frac{I_m}{C} \cos \omega t$$

é a parte real de  $\tilde{v}$ , ou seja:

$$v(t) = \operatorname{Re}[\tilde{v}(t)]$$

A equação:

$$\frac{d\tilde{v}}{dt} + \frac{1}{RC}\tilde{v} = \frac{I_m}{C}e^{j\omega t}$$

tem solução particular do tipo:

$$\tilde{v} = Ke^{j\omega t} \text{ (ver a Tabela do Item 2 do Capítulo IV)}$$

Substituindo na equação diferencial acima, obtém-se:

$$K = \frac{RI_m}{1+j\omega RC}$$

que fornece:

$$\tilde{v} = \frac{RI_m}{1+j\omega RC}e^{j\omega t}$$

Escrevendo  $1 + j\omega t$  na sua forma polar:

$$(1 + j\omega t) = \sqrt{1 + \omega^2 R^2 C^2} e^{j \arctg(\omega RC)}$$

Logo:

$$\tilde{v} = \frac{RI_m}{\sqrt{1 + \omega^2 R^2 C^2}} e^{j(\omega t - \arctg(\omega RC))}$$

Consequentemente:

$v(t) = \text{Re}[\tilde{v}]$  que fornece:

$$v(t) = \frac{RI_m}{\sqrt{1 + \omega^2 R^2 C^2}} \cos(\omega t - \arctg(\omega RC))$$

que é a mesma obtida no exemplo do item 1 deste capítulo.

Este fato sugere que, para achar soluções de circuitos elétricos com excitações senoidais, em regime permanente, é melhor expressar as excitações senoidais nas suas formas exponenci-



ais, resolver e extrair a parte real.

Exemplo: Considere o circuito da Figure 6 do Capítulo V, cuja equação diferencial é:

$$\frac{d^2v}{dt^2} + \frac{R}{L} \frac{dv}{dt} + \frac{1}{LC} v = \frac{1}{LC} E(t)$$

Considere:  $R = 4\Omega$ ,  $L = 2 \text{ H}$ ,  $C = \frac{1}{16} \text{ F}$ ,  $E(t) = \frac{3}{2}\sqrt{2}\cos(2t + 15^\circ)$ . Achar  $v(t)$  em regime permanente.

Solução: A equação diferencial fica:

$$\frac{d^2v}{dt^2} + 2\frac{dv}{dt} + 8v = 12\sqrt{2}\cos(2t + 15^\circ)$$

Transformando a entrada  $f(t) = 12\sqrt{2}\cos(2t + 15^\circ)$  na forma exponencial:

$$\tilde{f} = 12\sqrt{2}e^{j(2t+15^\circ)} = 12\sqrt{2}e^{j2t}e^{j15^\circ}$$

a solução é do tipo:  $\tilde{v} = V e^{j2t}$

Substituindo na equação diferencial:

$$(-V4 + 4Vj + 8V)e^{j2t} = 12\sqrt{2}e^{j2t}e^{j15^\circ}$$

$$V = \frac{12\sqrt{2}e^{j15^\circ}}{4+4j}$$

$$V = \frac{12\sqrt{2}e^{j15^\circ}}{4\sqrt{2}e^{\arctg 1}} = \frac{12\sqrt{2}e^{j15^\circ}}{4\sqrt{2}e^{j45^\circ}}$$

$$V = 3e^{-j30^\circ}$$

Portanto,  $\tilde{v} = V e^{j2t} = 3e^{j(2t-30^\circ)}$

Finalmente:  $v(t) = 3\cos(2t - 30^\circ)$

### 3 Fasores

Um sinal senoidal pode ser representado utilizando forma exponencial:

$$v(t) = V_m \cos(\omega t + \theta) = \operatorname{Re}[V_m e^{j(\omega t + \theta)}]$$

$$v(t) = \operatorname{Re}[V_m e^{j\theta} e^{j\omega t}]$$

A parcela:

$V = V_m e^{j\theta}$  recebe a denominação de **fasor** ou **representação fasorial**.

Notação:  $V = V_m e^{j\theta}$  ou  $V = V_m \angle \theta$

Observação: o ângulo  $\theta$  refere-se **ao de coseno**.

Exemplo: Seja o sinal  $v(t) = 8 \sin(3t + 30^\circ)$ .  
Achar o fasor associado.

$$v(t) = 8\cos(3t + 30^\circ - 90^\circ) = 8\cos(3t - 60^\circ)$$

$$\text{Fasor: } V = 8\angle(-60^\circ) = 8e^{-j60^\circ}$$

$$\text{Note que: } V_m = 8, \omega = 3, \theta = -60^\circ$$

### Relação Tensão-Corrente

- Resistores  $\tilde{i} = Ie^{j\omega t}$

$$\tilde{v} = R\tilde{i} = RIe^{j\omega t} = Ve^{j\omega t}$$

$$\text{Portanto: } V = RI \text{ e } V_m = RI_m$$

Como  $R$  tem fase zero, as fases de  $\tilde{v}$  e de  $\tilde{i}$  são iguais.

- Indutores  $\tilde{i} = Ie^{j\omega t}$

$$\tilde{v} = L\frac{d\tilde{i}}{dt} = j\omega LIe^{j\omega t} = Ve^{j\omega t}$$

$$\text{Portanto: } V = j\omega LI = \omega LIe^{j90^\circ}$$

$$V_m = \omega LI_m$$

A corrente atrasa  $90^\circ$  em relação à tensão.

- Capacitores  $\tilde{v} = V e^{j\omega t}$

$$\tilde{i} = C \frac{d\tilde{v}}{dt} = j\omega C V e^{j\omega t} = I e^{j\omega t}$$

$$\text{Portanto: } V = \frac{1}{j\omega C} I = \frac{1}{\omega C} I e^{-j90^\circ}$$

$$V_m = \frac{I_m}{\omega C}$$

A corrente adiante  $90^\circ$  em relação à tensão.

#### 4 Impedância e Admitância, Leis de Kirchoff

Seja o circuito da Figure 2, escrito na sua forma fasorial:

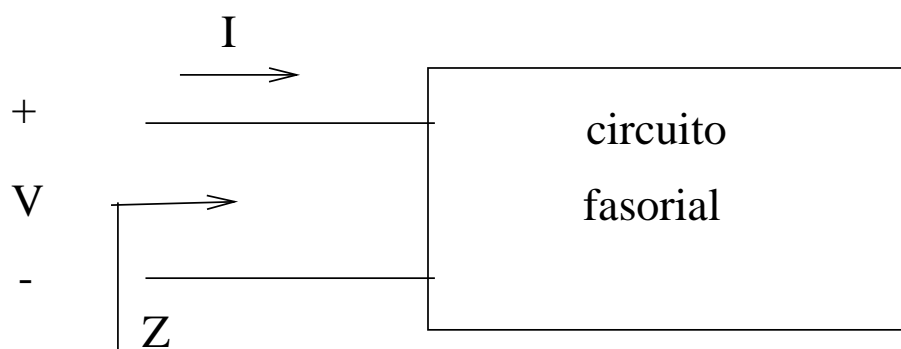


Figure 2: Circuito na forma fasorial

com  $V = V_m \angle \theta$  e  $I = I_m \angle \phi$ .

Define-se **impedância** do circuito como:

$$Z = \frac{V}{I} = |Z| \angle (\theta_Z)$$

$$\text{Portanto: } Z = \frac{V_m \angle \theta}{I_m \angle \phi} = \frac{V_m}{I_m} \angle (\theta - \phi)$$

Pode-se escrever:

$$Z = R + jX$$

onde  $R$  é o componente resistivo (resistência) e  $X$  é o componente reativo (reatância), ambos medidos em Ohms ( $\Omega$ ).

Note que:

$$Z = R + jX = \sqrt{R^2 + X^2} \angle (\arctg \frac{X}{R})$$

$$\text{com } R = |Z| \cos \theta_Z \text{ e } X = |Z| \sin \theta_Z.$$

Exemplos:

- Resistor:  $Z_R = R$
- Capacitor:  $Z_C = \frac{1}{j\omega C} = \frac{1}{\omega C} \angle -90^\circ$
- Indutor:  $Z_L = j\omega L = \omega L \angle +90^\circ$
- $V = 10 \angle 60^\circ$ ,  $I = 2 \angle 30^\circ$ ,  $\Rightarrow$   
 $Z = 5 \angle 30^\circ = 5(\cos 30^\circ + j \sin 30^\circ)$

Define-se **admitância** como sendo  $Y = \frac{1}{Z}$

### Leis de Kirchoff em Circuitos Fasoriais

As Leis de Kirchoff vistos no item 3 do Capítulo I continuam valendo em circuitos na representação fasorial.

Exemplos:

1. Impedâncias em série: Considere a configuração da Figure 3.

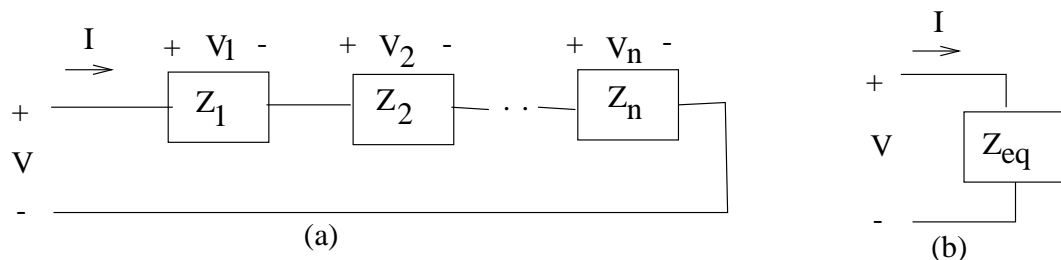


Figure 3: Impedâncias em série

No circuito (a):  $V = V_1 + V_2 + \dots + V_n$  e  
 $V_i = Z_i I$

Portanto:  $V = (Z_1 + Z_2 + \dots + Z_n)I$

No circuito (b):  $V = Z_{eq}I$

$$\Rightarrow Z_{eq} = Z_1 + Z_2 + \dots + Z_n$$

2. Impedâncias em paralelo: Considere a configuração da Figure 4.

No circuito (a):  $I = I_1 + I_2 + \dots + I_n$  com



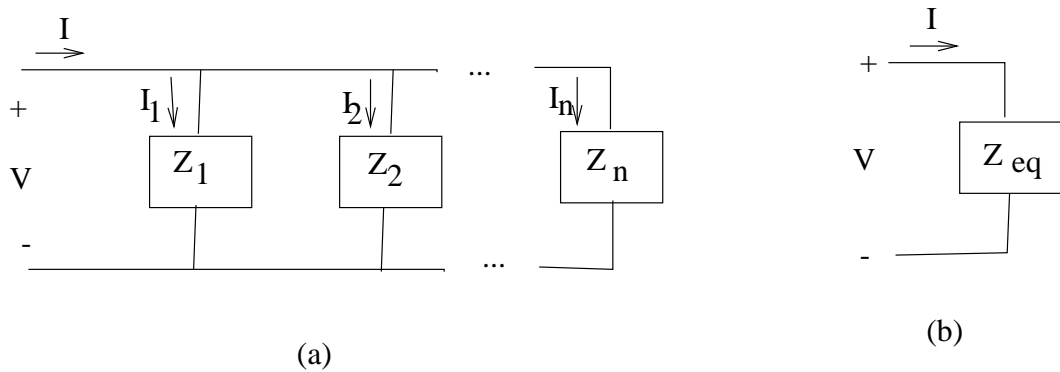


Figure 4: Impedâncias em paralelo

$$I_i = \frac{V}{Z_i}$$

No circuito (b):  $I = \frac{1}{Z_{eq}} V$

$$\Rightarrow \frac{1}{Z_{eq}} = \frac{1}{Z_1} + \frac{1}{Z_2} + \dots + \frac{1}{Z_n}$$

3. Seja o circuito da Figure 5(a) em regime permanente. Determinar  $i(t)$ .

O circuito fasorial correspondente está na Figure 5(b), que fornece:

$$\begin{cases} V = V_R + V_L \\ V_R = RI \\ V_L = j\omega LI \end{cases}$$

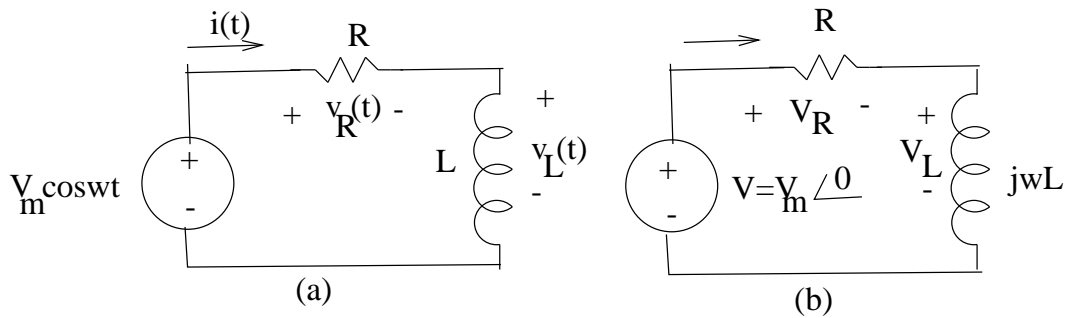


Figure 5: Circuito do exemplo 3

$$V_m \angle 0 = (R + j\omega L)I$$

$$I = \frac{V_m \angle 0}{R + j\omega L} = \frac{V_m}{\sqrt{R^2 + \omega^2 L^2}} \angle (0 - \arctan \frac{\omega L}{R})$$

$$\text{Assim: } i(t) = \frac{V_m}{\sqrt{R^2 + \omega^2 L^2}} \cos(\omega t - \arctan \frac{\omega L}{R})$$

4. Seja o circuito da Figure 6(a) em regime permanente. Ache  $i(t)$ .

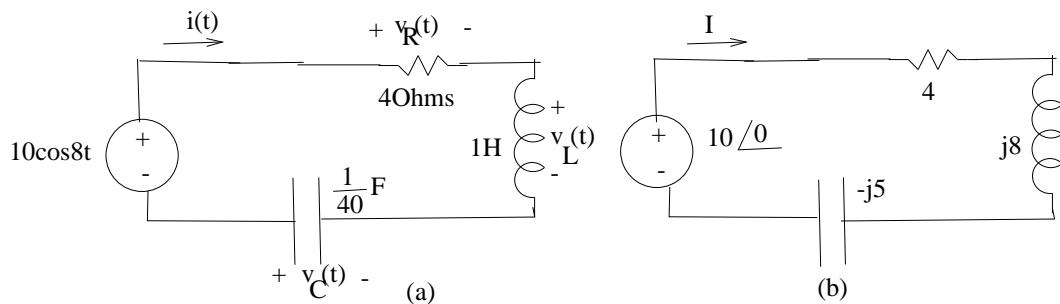


Figure 6: Circuito do exemplo 4

O circuito fasorial correspondente é a Fig-

ure 6(b).

$$Z_{eq} = 4 + j8 + (-j5) = 4 + j3 = 5 \angle 36.87^\circ$$

$\Rightarrow$

$$I = \frac{10 \angle 0}{5 \angle 36.87^\circ} = 2 \angle (-36.87^\circ)$$

$$i(t) = 2 \cos(8t - 36.87^\circ)$$

## 5 Análise Nodal e de Malhas

As leis de Kirchoff vistos em circuitos puramente resistivos (Capítulo I) valem para cenário com fasores. Da mesma forma, os métodos nodais (ou de tensão nos nós) e os métodos de correntes de malhas continuam valendo.

Exemplo: Seja o circuito (a) da Figure 7 em

regime permanente. Encontre  $v(t)$ .

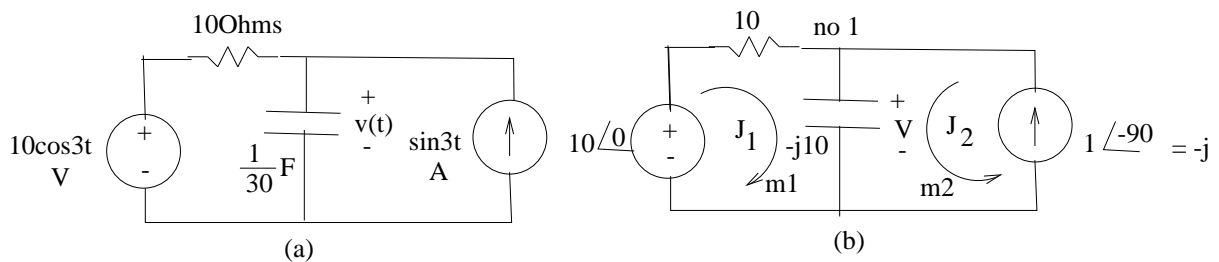


Figure 7: Circuito exemplo para análise nodal e corrente de malhas

Solução:

O circuito na forma fasorial está mostrado na Figure 7(b).

A) Análise nodal

No nó 1:

$$\frac{V - 10\angle 0}{10} + \frac{V}{-j10} = 1\angle(-90^\circ) = -j$$

$$V - 10 + jV = -j10$$

$$V = \frac{10-j10}{1+j} = \frac{10\sqrt{2}\angle(-45^\circ)}{\sqrt{2}\angle 45^\circ} = 10\angle(-90^\circ)$$

$$\Rightarrow v(t) = 10\cos(3t - 90^\circ) = 10\sin 3t$$

B) Correntes de malhas

$$\text{malha m1: } 10J_1 - j10(J_1 + J_2) = 10\angle 0$$

$$\text{malha m2: } J_2 = 1\angle -90^\circ = -j$$

$$(10 - j10)J_1 = 10 + j10J_2 = 10 + j10(-j) = 20$$

$$J_1 = \frac{20}{10(1-j)} = \frac{2}{1-j} = \frac{2}{\sqrt{2}\angle -45^\circ} = \sqrt{2}\angle 45^\circ$$

$$J_1 = \sqrt{2}(\cos 45^\circ + j\sin 45^\circ) = 1 + j$$

$$V = -j10(J_1 + J_2) = -j10(1 + j - j) = -j10$$

$$\Rightarrow v(t) = 10\cos(3t - 90^\circ) = 10\sin 3t$$

## 6 Teorema de Rede, Diagrama Fasorial

### A) Teorema de Redes

As propriedades vistas no Capítulo II, item 1.3, continuam válidas no ambiente fasorial: superposição, equivalentes Thévenin e Norton, proporcionalidade, etc..

Exemplos:

- Superposição

Seja o circuito da Figure 8, em regime permanente. Determinar  $i(t)$ .

Solução:

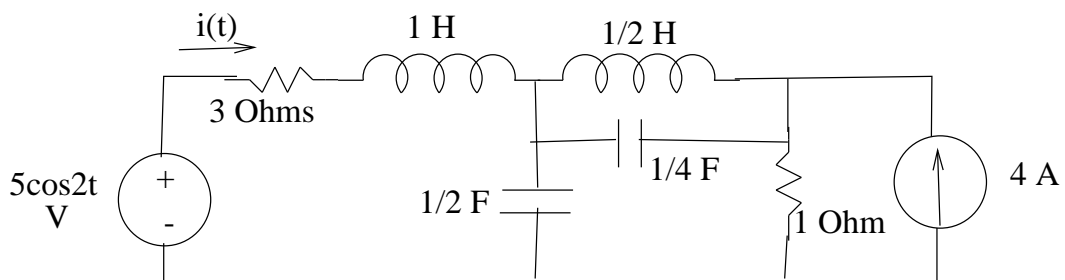


Figure 8: Circuito exemplo para superposição

O circuito tem 2 fontes, uma de tensão ( $5\cos 2t$ ) e outra de corrente (4 A). Ou seja, a fonte de tensão é do tipo senoidal e a de corrente é contínua. Nestas situações, é preciso utilizar a superposição.

a) Considerando a fonte de tensão e anulando a de corrente, tem-se o circuito da Figure 9 que pode ser simplificado como mostrado na Figure 10.

Note que  $j$  em paralelo com  $-j2$  resulta em:

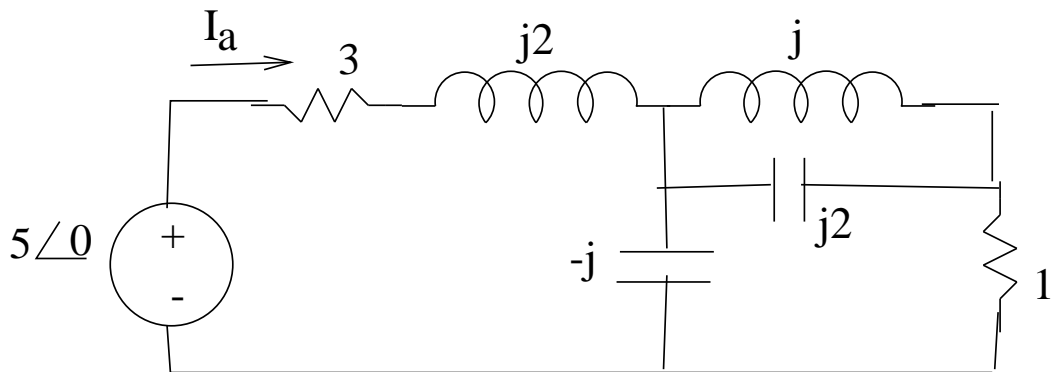


Figure 9: Anulando fonte de corrente

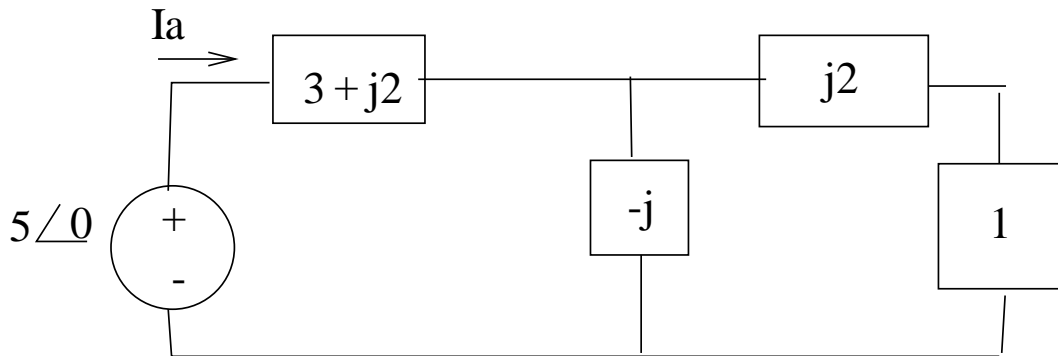


Figure 10: Circuito fasorial simplificado

$$\frac{j \cdot (-j2)}{j - j2} = \frac{2}{-j} = j2$$

$Z_{eq} = (3 + j2) + (-j)$  em paralelo com  $(1 + j2)$

$(-j)$  em paralelo com  $(1 + j2)$  resulta em:



$$\frac{-j(1+j2)}{-j+1+j2} = \frac{2-j}{1+j}$$

$$Z_{eq} = 3 + j2 + \frac{2-j}{1+j} = \frac{3+j4}{1+j}$$

$$Z_{eq} = \frac{5\angle 53.13^\circ}{\sqrt{2}\angle 45^\circ} = \frac{5\sqrt{2}\angle 8.13^\circ}{2}$$

Portanto:

$$I_a = \frac{5\angle 0}{Z_{eq}} = \frac{2\angle (-8.13^\circ)}{\sqrt{2}}$$

$$I_a = \sqrt{2}\angle (-8.13^\circ)$$

Consequentemente:

$$i_a(t) = \sqrt{2}\cos(2t - 8.13^\circ)$$

b) Considerando a fonte de corrente ativa e anulando a de tensão, tem-se o circuito

apresentado na Figure 11 que, utilizando divisor de corrente, fornece:

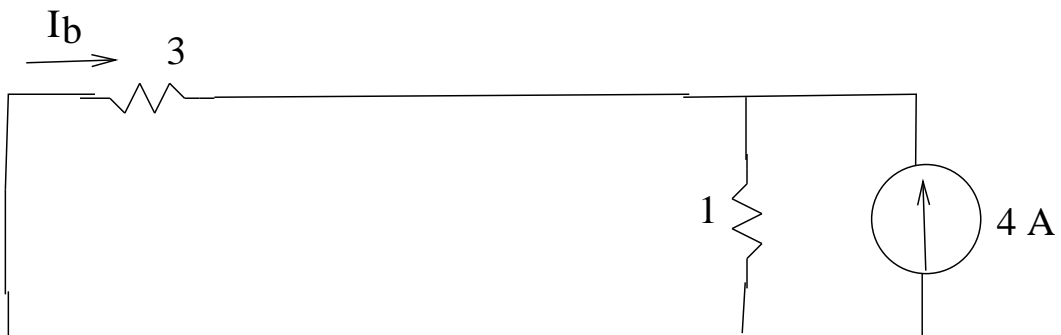


Figure 11: Anulando fonte de tensão

$$I_b = -\frac{1}{1+3}4 = -1 \text{ A}$$

Portanto:  $i_b(t) = -1 \text{ A}$

c) Finalmente, como  $i(t) = i_a(t) + i_b(t)$

$$i(t) = \sqrt{2}\cos(2t - 8.13^\circ) - 1 \text{ A}$$

- Equivalentes Thévenin e Norton

Procedimentos idênticos aos do caso resis-

tivo (Capítulo II, item 3) podem ser tomados nestes casos fasoriais, lembrando que agora,  $V_{th}$ ,  $I_N$ ,  $Z_{th}$  (no lugar de  $R_{th}$ ) são fasores.

Resumindo, o circuito da Figure 12 a seguir, pode ser colocado nas formas mostradas nas Figure 13 e Figure 14.

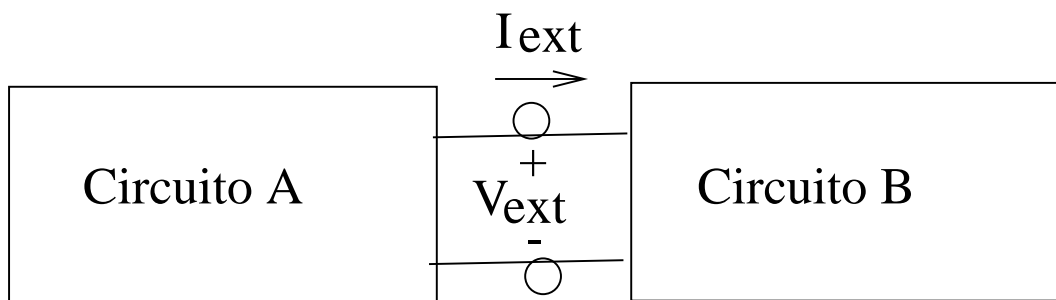


Figure 12: Circuito na forma fasorial

Exemplo: Considere o circuito da Figure 15 em regime permanente. Substitua tudo menos o resistor de  $7\Omega$  entre os terminais (a,b) pelo seu equivalente Thévenin.

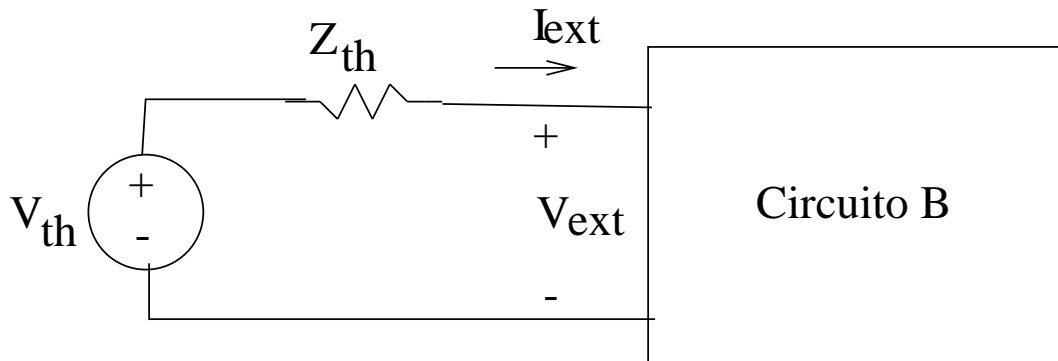


Figure 13: Equivalente Thévenin

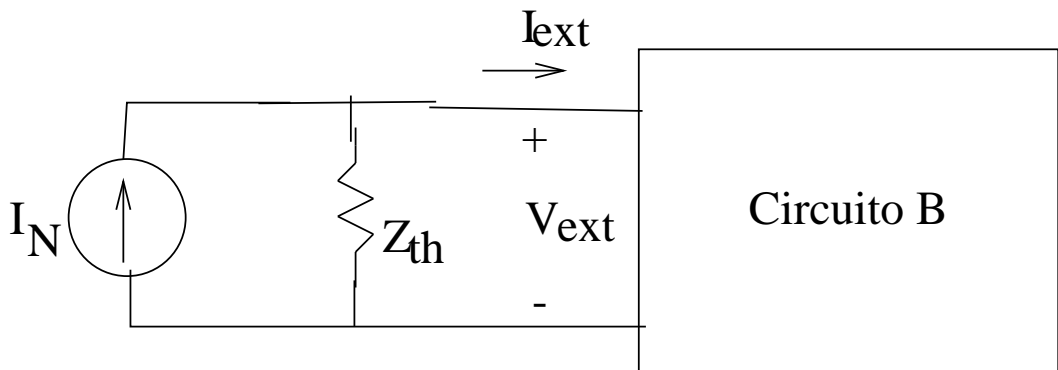


Figure 14: Equivalente Norton

Solução:

A representação fasorial está mostrada na Figure 16.

a) Cálculo de  $V_{th}$ .

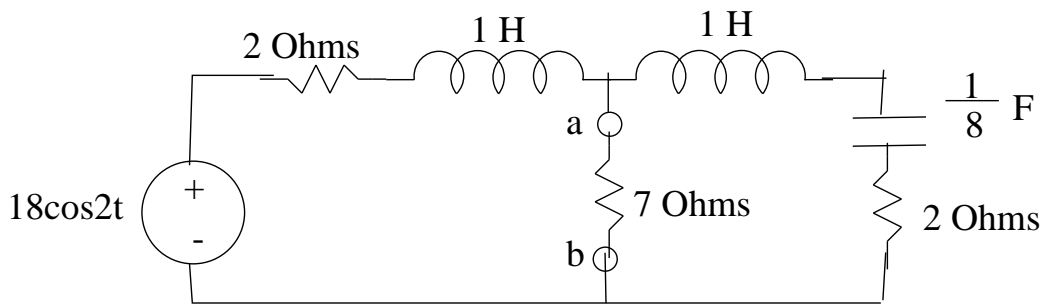


Figure 15: Exemplo de equivalente Thévenin

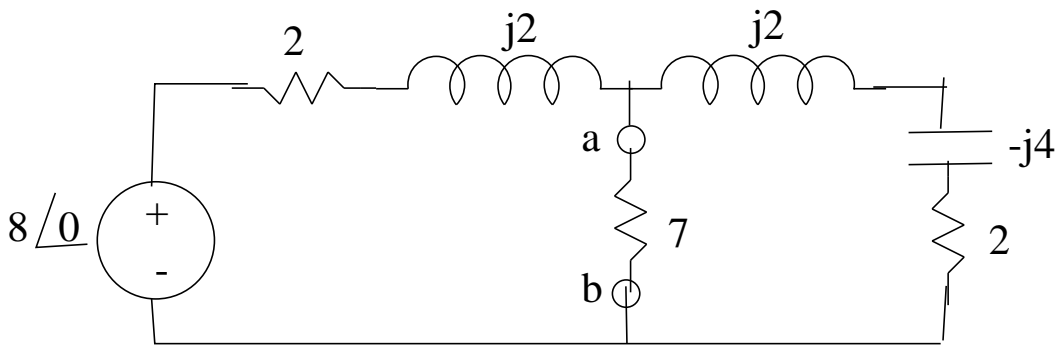


Figure 16: Representação fasorial

Considerar a configuração da Figure 17 e determinar a tensão de aberto entre os terminais (a,b), que corresponde a  $V_{th}$ .

$$V_{th} = \frac{2+j2-j4}{2+j2-j4+2+j2} 18 \angle 0^\circ = \frac{2-j2}{4} 18 \angle 0^\circ$$

$$V_{th} = 9\sqrt{2} \angle -45^\circ$$

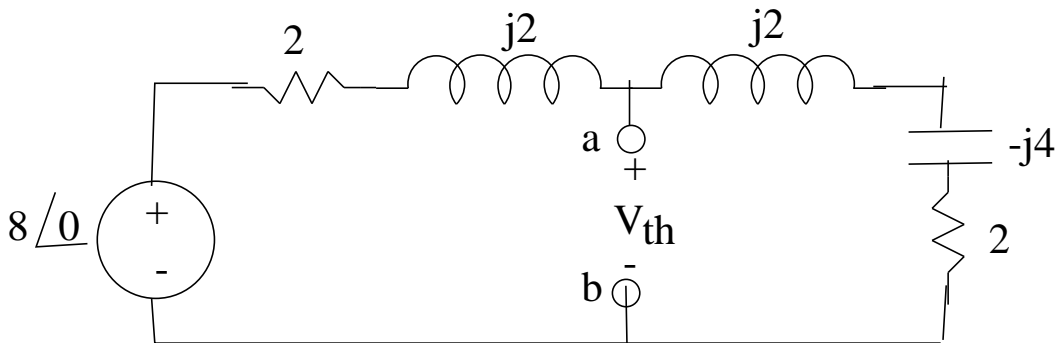


Figure 17: Para determinar  $V_{th}$

b) Cálculo de  $Z_{th}$ .

Considerar o circuito da Figure 18 e determinar a impedância vista pelo terminal (a,b):

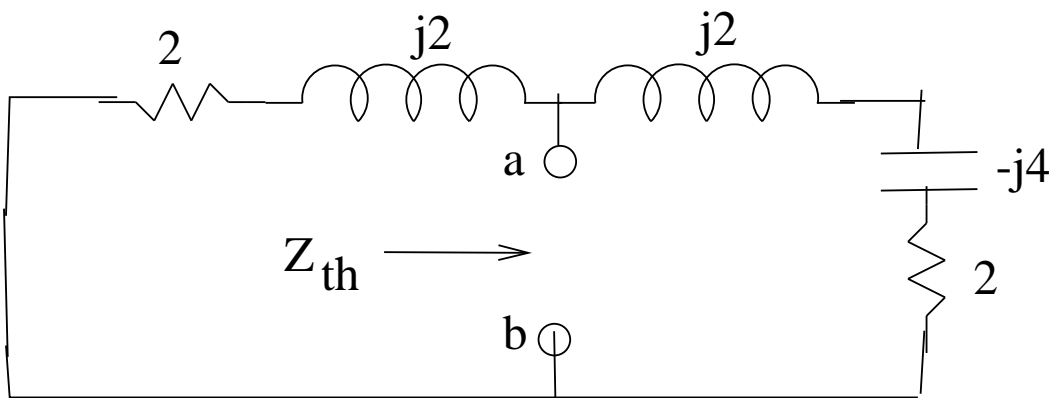


Figure 18: Para determinar  $Z_{th}$

$$Z_{th} = (2 + j2) \text{ paralelo com } (2 + j2 - j4)$$

$$Z_{th} = \frac{(2+j2)(2-j2)}{2+j2+2-j2} = 2$$

c) Equivalente Thévenin:

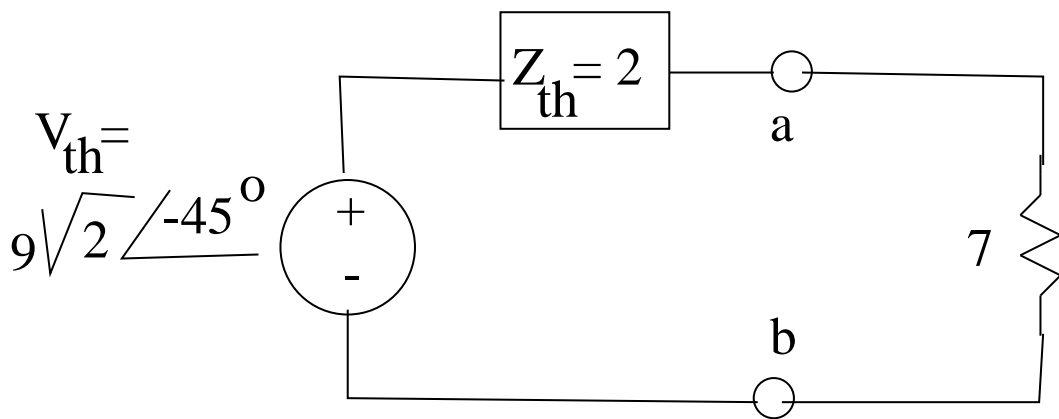


Figure 19: Circuito equivalente de Thévenin

## B) Diagrama Fasorial

Como fasores são números complexos, podem ser representados graficamente no plano complexo. Desta forma, soma e subtração podem ser feitas geometricamente.

Em geral, escolhe-se uma referência e a partir

dela constrói-se o diagrama fasorial, para depois, aplicar o princípio da proporcionalidade (caso necessário).

Exemplo:

Considere o circuito da Figure 20.

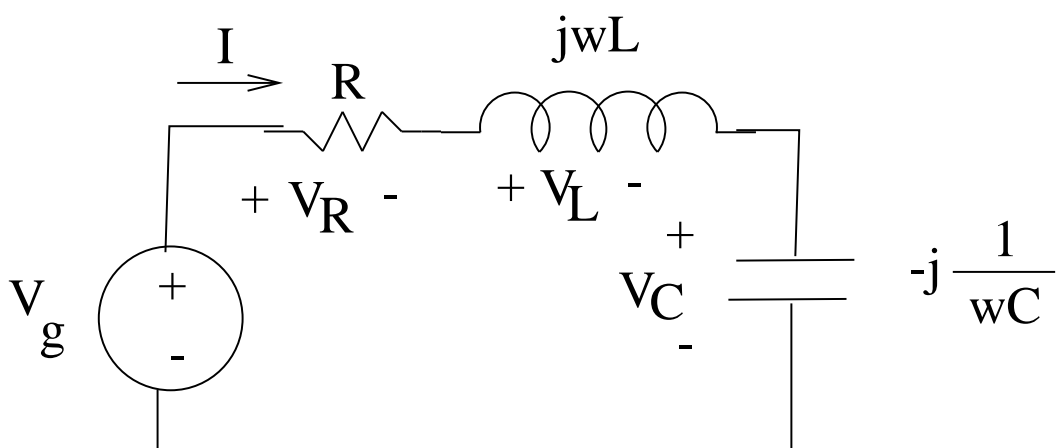


Figure 20: Circuito do exemplo

Tomando  $I$  como referência ( $|I| \angle 0^\circ$ ), pode-se escrever:



$$\begin{cases} V_R = RI & = R|I|\angle 0 & = R|I| \\ V_L = j\omega LI & = j\omega L|I|\angle 0 & = \omega L|I|\angle 90^\circ \\ V_C = -j\frac{1}{\omega C}I & = -j\frac{1}{\omega C}|I|\angle 0 & = \omega\frac{|I|}{\omega C}\angle -90^\circ \end{cases}$$

Como  $V_g = V_R + V_L + V_C$ , pode-se fazer o diagrama da Figure 21:

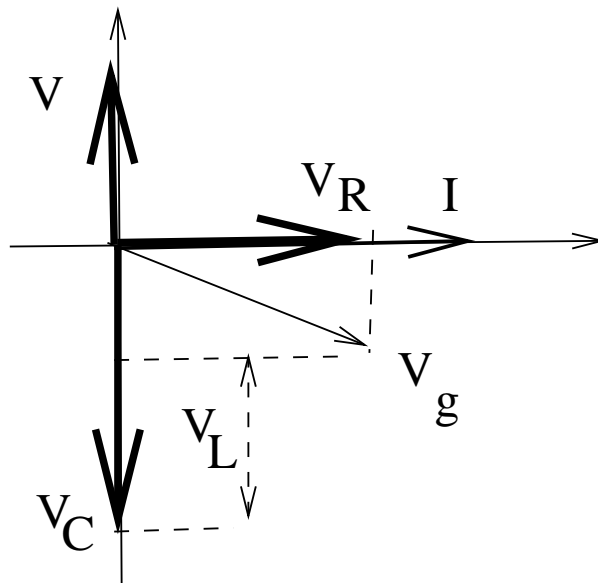


Figure 21: Diagrama fasorial

---

A. Y.  
DSE-FEEC-UNICAMP  
1s/2020